

дезактивация колебаний азота протекает очень медленно. Кванты колебаний N<sub>2</sub> и антисимметричной моды CO<sub>2</sub> почти одинаковы. Между N<sub>2</sub> и CO<sub>2</sub> происходит быстрый резонансный обмен квантами с частотами W<sub>43</sub> и W<sub>34</sub>, и энергия возбуждения передаётся антисимметричной моде, в т. ч. на верх. лазерный уровень. Столкновительная дезактивация этой моды идёт с частотой W<sub>32</sub>, при этом энергия переходит в колебания смешанных мод и частично в тепловую. Под действием излучения между лазерными уровнями происходят индуцированные переходы с частотой R<sub>32</sub>. Столкновительная дезактивация смешанных мод происходит с частотой W<sub>20</sub>, при этом энергия колебаний переходит в тепловую. Если W<sub>20</sub> >> W<sub>32</sub>, то возникает эффект «узкого горла»: колебания молекул азота и антисимметричной моды CO<sub>2</sub> возбуждаются значительно сильнее, чем колебания смешанных мод. Населённости ниж. лазерных уровней остаются почти не отличающимися от тепловых и оказываются меньшими населённости верх. лазерного уровня, т. е. возникает инверсная населённость. Накачка CO<sub>2</sub>-л. может производиться разл. способами. В общем случае источник накачки может возбуждать с частотами P<sub>03</sub> и P<sub>02</sub> антисимметричную и смешанные моды, а также дезактивировать моды с частотами P<sub>20</sub>, P<sub>30</sub> и P<sub>40</sub> соответственно.

Вследствие большинства распределения населённостей уровней мод инверсная населённость одновременно образуется и на большом числе переходов, соответствующих полосам секвенции и «горячим» полосам. Усиление на этих переходах значительно меньше, и для получения генерации на них в резонатор лазера вносят частотно-селективные потери, посредством к-рых подавляется генерация на более сильных переходах.

Благодаря большой скорости обмена квантами между антисимметричной модой и азотом релаксация запасённой в этих модах энергии происходит совместно. Эфф. время такой релаксации превышает обратную частоту релаксации антисимметричной моды:

$$\tau_{\text{эфф}} = (p_{\text{CO}_2} + p_{\text{N}_2}) / (p_{\text{CO}_2} W_{32}),$$

где p — соответствующие парциальные давления. В смесях CO<sub>2</sub> с азотом эффекта «узкого горла» не возникает. Чтобы обеспечить выполнение условия W<sub>20</sub> >> W<sub>32</sub>, в смеси добавляют компоненты, к-рые ускоряют релаксацию смешанных мод, но мало влияют на дезактивацию антисимметричной моды. Лучше всего этому требованию удовлетворяют атомы гелия, к-рые обычно входят в состав лазерных смесей. В нек-рых случаях с этой целью в состав смеси добавляют водяной пар или водород.

**Газоразрядные CO<sub>2</sub>-л.** Наиб. распространение получила накачка CO<sub>2</sub>-л. в газовом разряде. Этот способ накачки отличается высокой эффективностью преобразования электрич. энергии в энергию колебаний молекул азота и антисимметричной моды CO<sub>2</sub>, возможностью регулирования мощности накачки в довольно широких пределах, надёжностью и доступностью аппаратуры (см. также *Лазоразрядные лазеры*). Высокая эффективность газоразрядной накачки обусловлена рядом причин. Сечения возбуждения колебат. уровней азота электронным ударом велики и имеют резонансный характер. Энергии электронов, соответствующие максимумам сечений этих процессов, близки к ср. энергии электронов в тлеющем разряде лазерных смесях. Сечения возбуждения колебат. уровней CO<sub>2</sub> электронным ударом тоже велики, их максимумы находятся в припороговой области, где энергия электронов несколько превышает энергию квантов колебаний мод. Учитывая, что квант колебаний деформационной моды примерно втрое меньше квента колебаний азота, осн. доля мощности, в типичных условиях 70—85%, расходуется в разряде на возбуждение колебаний азота и антисимметричной моды.

Газоразрядные CO<sub>2</sub>-л. непрерывного действия. В процессе накачки в активной среде выделяется значит. мощность, что приводит к повышению её темп-ры. Величина τ<sub>эфф</sub> при этом быстро уменьшается. В результате с ростом мощности накачки населённость верх. лазерного уровня сначала растёт, достигает максимума и затем

уменьшается. Населённость ниж. лазерного уровня с ростом темп-ры экспоненциально растёт. Вследствие этого существует оптимальная плотность мощности накачки, при превышении к-рой инверсная населённость начинает уменьшаться из-за перегрева газа. При оптимальной плотности мощности накачки темп-ра составляет 400—500 К. При темп-ре более 700—800 К инверсная населённость исчезает. Чтобы не допустить перегрева активной среды, необходимо обеспечить эф. теплоотвод. Теплоотвод может производиться за счёт теплопроводности к охлаждаемым стенкам разрядной трубы либо конвективным способом посредством замены отработавшей порции газа. По способу теплоотвода различают CO<sub>2</sub>-л. с диффузионным и конвективным охлаждением (CO<sub>2</sub>-ЛДО и CO<sub>2</sub>-ЛКО).

Типовая схема простейшего CO<sub>2</sub>-ЛДО показана на рис. 4. Мощность генерации CO<sub>2</sub>-ЛДО можно оценить из

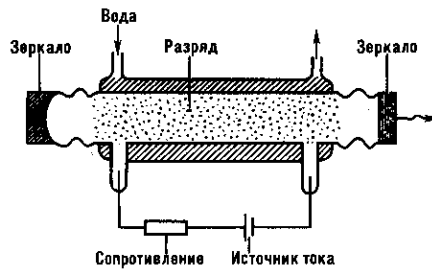


Рис. 4.

следующих соображений. Если W — мощность, η — эл.-оптич. кпд генерации, L — длина, R — поперечный размер газоразрядной трубы, ΔT — допустимый перепад темп-ры между центром и стенками трубы, κ<sub>c</sub> — коэф. теплопроводности лазерной смеси, то

$$\frac{W}{R^2 L (1 - \eta)} \leq \kappa_c \frac{\Delta T}{R^2},$$

откуда  $W/L \leq (1 - \eta) \times \Delta T$ . Эл.-оптич. кпд включает в себя кпд накачки η<sub>н</sub>, к-рый показывает, какая часть электрич. мощности, поступающей в разряд, расходуется на возбуждение колебаний молекул азота и антисимметричной моды CO<sub>2</sub>, квантовый кпд η<sub>кв</sub> ≈ 0,41, равный отношению энергии квантов излучения и накачки, кпд генерации η<sub>ген</sub> и геометрический коэф. заполнения активного объёма излучением η<sub>зап</sub>:  $\eta = \eta_{\text{н}} \eta_{\text{кв}} \eta_{\text{ген}} \eta_{\text{зап}}$ . Величина η<sub>зап</sub> при хорошем согласовании объёмов разряда и мод резонатора может составлять 0,6—0,8, но часто гораздо меньше. При условии, что коэф. прозрачности выходного зеркала оптич. резонатора выбран оптимальным по мощности генерации,  $\eta_{\text{ген}} = (1 - \sqrt{\beta/x})^2$ , где β — приходящаяся на единицу длины величина потерь на полный обход резонатора за исключением потерь на излучение во внеш. пространство, x — показатель усиления. В целом η достигает 10—15%. Величина погонной мощности не превышает 50—70 Вт/м. Соответствующая этому ограничению плотность мощности накачки оказывается примерно на порядок меньше пороговой, при к-рой возможно развитие неустойчивости разряда. Чтобы увеличить мощность лазера, применяют длинные трубы (до 10—20 м). Для уменьшения габаритов трубы разделяют на секции длиной 2—4 м. Мощность CO<sub>2</sub>-ЛДО обычно не превышает 500—1000 Вт. Для повышения погонной мощности применяют разряды щелевой или кольцевой геометрии либо помещают большое число трубок (N) в общий резонатор. В первом случае погонная мощность может быть увеличена в H/d раз (H — ширина, d — толщина щели). Во втором случае возможно N-кратное увеличение погонной мощности сборки. Мощность таких лазеров достигает 10 кВт.

Важным в практическом отношении свойством CO<sub>2</sub>-ЛДО оказывается возможность длит. эксплуатации без замены газа (т. н. отпаянные лазеры). Срок службы определяется скоростью взаимодействия продуктов плазмохим. реакций